

九州大学 正員 井島武士  
 同 同 奥薗英明  
 同 学生員 橋元良二

### 1. まえがき

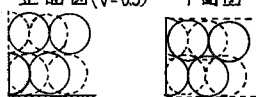
最近 直立の消波防波堤、及び護岸に関する研究開発がさかんに行なわれるようになってきた。中でも著者ら<sup>(1)</sup>が行なってきた、遊水部をもつ直立防波堤は、波長の長い波に対しても、非常にすぐれた消波効果を示すものである。

ここでは、消波効果に及ぼす透過程壁の壁厚、空隙率、及び粒度の影響について検討を行なった。

### 2. 実験装置

実験には、長さ2.2m、幅80cm、高さ80cmの二次元造波水路を用い、一様透過程壁のモデルとして金網のわくの中に、粒径40～50mmの碎石、及び直径62mmのプラスチック球をつめたものを用い、空隙の調節には金網を用いて行なった。

正面図( $\tau=0.5$ ) 平面図



透過壁の空隙率は、碎石、球ともに  $\tau = 0.4, 0.5, 0.6$ 、壁厚は碎石では、  
 $B = 10, 20, 30 \text{ cm}$ 、球では、 $B = 12, 24, 36 \text{ cm}$ とした。

反射率の測定は、抵抗線式波高計により、Healy の方法をもって行ない  
 水路水深は、50cm、波の周期は  $T = 2.60, 2.01, 1.70 \text{ 秒}$ とした。これらは、それぞれ  $k_0 h / g = 0.3, 0.5, 0.7$  ( $k$ : 波の周波数;  $h$ : 水深;  $g$ : 重力加速度) となり、いずれの波に対しても、波高は 5cm とした。

### 3. 実験結果及び考察

図-1, 2, 3 は、それぞれ空隙率を 0.4, 0.5, 0.6 とし横軸に、全堤体幅:  $X$ 、波長:  $L$  の比  $X/L$  をとった場合の碎石の反射率:  $K_r$  を示している。

これらの場合にも、透過壁厚が厚くなればなる程、最小反射率を与える、最適全堤体幅は狭くなるが、その反射率の絶対値は、図-1 の  $\tau = 0.4$  の時は、 $B/L$  が小さい程 小さく、図-2 の  $\tau = 0.5$  の時は、 $B/L = 0.060, 0.049, 0.037$  の場合が最も小さく、図-3 の  $\tau = 0.6$  になると  $B/L$  が大きくなる程、小さくなっている。

さらに、各図の最も  $K_r$  が低いものを比較すると、 $\tau = 0.5$  の値が最適空隙率を与えることとなる。この時の最適透過壁厚、 $B/L$  は、波長が長くなるに従って小さな値となり、最適全堤体幅、 $X/L$  は、いづれの場合も、0.2程度となっている。

図-4 は、 $\tau = 0.5$  の場合の透過壁本体として、金網に球をつめたものと、碎石をつめたものとの比較である。球についても、 $B/L = 0.059, 0.029, 0.088$  の順に反射率は低下しており碎石と同様である。図には示していないが、 $\tau = 0.4$  の場合は、両者の差はかなり著しく、 $\tau = 0.6$  の場合は、その差は顕著がない。即ち、最適空隙率においては、粒度の影響は殆んど現われないと考えてよい。

### (参考文献)

- (1) 井島武士、奥薗英明、湯村やす、坂井久雄(1972)：遊水部をもつ直立消波防波堤と護岸、第19回 海岸工学講演会論文集、昭和47年11月。

